

横浜国立大学 学生員 飯島基裕  
 横浜国立大学 正会員 伊藤忠彦  
 横浜国立大学 正会員 山口隆裕  
 横浜国立大学 正会員 池田尚治

**1.はじめに** 近年、プレストレストコンクリート構造物では施工の合理化を図るために様々な構造形式が提案され、施工されている。本研究は、外ケーブルやプレキャストセグメント構造を用いた構造形式の力学的特性を明らかにすることを目的とし、はり部材を用いて載荷実験を行ったものである。また、部材断面を一次元的にファイバー モデル化した計算手法により曲げ変形挙動の解析を行い、実験結果との比較および検討を行った。

**2. 実験概要** 実験に用いた供試体の形状寸法を図-1に示す。供試体の断面形状はT形であり、3種類の構造形式に分かれている。タイプIは、軸方向引張鉄筋を配置しない一体打ち構造であり、タイプIIは目標圧縮強度が $700\text{kgf/cm}^2$ の高強度コンクリートを使用した内ケーブルのプレキャストセグメント構造<sup>1)</sup>である。タイプIIIは、外ケーブルを用いたプレキャストセグメント構造であり、コンクリートの目標圧縮強度を $400\text{kgf/cm}^2$ と $700\text{kgf/cm}^2$ としたものをそれぞれ一体ずつ製作した。タイプIとタイプIIについては、緊張材とコンクリートとの間に付着の有るもの（以下、ボンドと記す）と付着の無いもの（以下、アンボンドと記す）を製作した。プレキャストセグメント構造は6個のブロックで構成され、セグメント接合面はドライジョイントとした。また、タイプIとタイプIIではPC鋼棒を直線配置にし、タイプIIIではPC鋼より線を載荷点下のディビエータ部で $5.5^\circ$ に曲げ上げて配置した。実験方法は、一方向繰り返し2点曲げ載荷とした。

**3. 実験結果および考察** 実験結果と解析結果の比較を表-2および図-2に示す。解析において使用した緊張材とコンクリートの応力とひずみの関係を図-3に示す。アンボ

ンドの供試体（I-UB、II-UBとタイプIII）においては平面保持の仮定が成立しないため、緊張材のひずみ量は定着部の変形量に相当するものとした。また、表-2に示した破壊荷重の計算値は、緊張材が降伏した荷重またはコンクリートの圧縮ひずみが $3500\mu$ に達した荷重とした。一体打ち構造のタイプIにおいて、破壊形態はボンドのI-UBではPC鋼棒の降伏によるものであったが、アンボンドのI-UBではスパン中央部のコンクリートの曲げ圧縮破壊によるものであり、PC鋼棒とコンクリートの付着の有無により破壊形態が異なる。プレキャストセグメント構造のタイプIIの場合、セグメント接合面開口後の変形量は付着の有無の影響でアンボンドのII-UBの

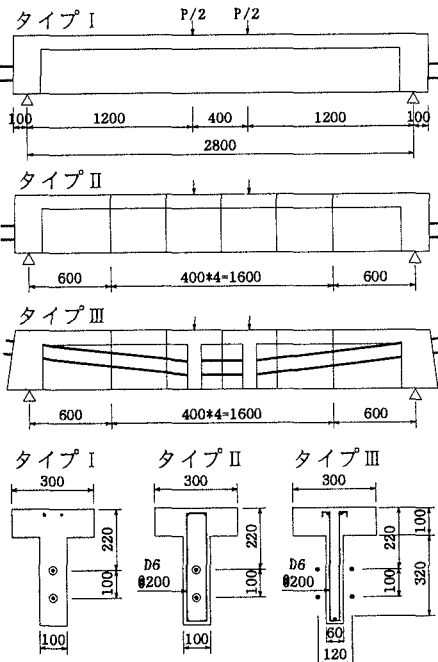


図-1 供試体の形状寸法

表-1 実験因子一覧

タイプ	供試体名	付着		コンクリ		緊張材		緊張力(tf)		
		有	無	400	700	内	外	径(mm)	上段	下段
I	I-B	○		○		○		Φ17	15.0	10.0
	I-UB		○	○		○		Φ17	15.0	10.0
II	II-B	○				○	○	Φ23	22.5	15.0
	II-UB		○			○	○	Φ23	22.5	15.0
III	III-NS	○	○			○		Φ12.4	7.0×2	2.0×2
	III-HS	○		○		○		Φ12.7	10.5×2	3.0×2

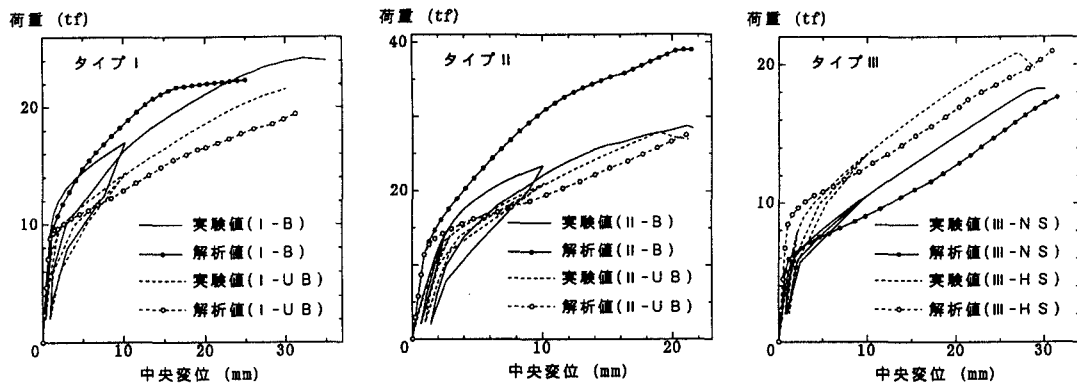


図-2 荷重-中央変位曲線

方が大きくなつたが、繰り返し載荷後の挙動はアンボンド、ボンドとも似通つたものとなり、最終的な破壊形態は両供試体ともコンクリートの圧壊となつた。また、タイプIIの両供試体ではせん断区間に付着ひびわれから成長した斜めひびわれの発生が見られたが、スターラップを配置していなければせん断破壊には至らなかつた。タイプIIIの破壊形態は、タイプIIと同様に両供試体ともコンクリートの圧壊となつた。導入プレストレス力を大きくしたIII-HSの方がIII-NSよりもセグメント接合面開口時の荷重で30%程度、破壊荷重で15%程度大きくなつた。したがつて、高強度コンクリートを用いて導入プレストレス力を大きくすることで供用性および耐荷能力を向上させることができると考えられる。また、タイプIIIでは斜めひびわれの発生は観察されなかつた。

実験より得られた荷重-変位曲線を計算結果と比較すると、図-2に示すように、外ケーブル形式を含むアンボンド部材の計算値はひびわれ発生後またはセグメント開口後の剛性を実験値より若干小さく評価しているが、全体の挙動としてみるとほぼ実験値と対応している。ボンド部材の場合は、逆に計算値がひび割れ発生後の剛性を大きく評価しているが、一体打ち構造のI-Bにおいては計算値と実験値とはほぼ対応した結果となつてゐる。また、プレキャストセグメント構造のII-Bにおいてはセグメント開口後の荷重-中央変位曲線の実験値がアンボンドのII-UBとほぼ同じになつており、完全にP.C鋼棒とコンクリートが付着していると仮定した計算値とはかけ離れ、最大耐力も異なるものになつた。

#### 4.まとめ

- ①プレキャストセグメント構造および外ケーブルを用いたプレキャストセグメント構造のP.Cはりの曲げ変形挙動を把握することができた。
- ②外ケーブルを含むアンボンド部材の曲げ変形挙動を、緊張材のひずみ量が定着部の変形量に相当すると仮定したことにより、簡便な計算手法によって求めることができた。
- ③プレキャストセグメント構造において、高強度コンクリートを用い導入プレストレス力を大きくするとの有効性を、供用性能および終局耐力の向上の面から確認することができた。

〈参考文献〉 1) 鈴木,伊藤,山口,池田:土木学会第49回年次学術講演会講演概要集,第5部,pp.762-763,1994

表-2 実験および計算結果 (tf)

	I-B	I-UB	II-B	II-UB	III-NS	III-HS
ひびわれ発生荷重 $P_{cr}$	実験値	10.0	9.6	13.8	12.8	5.9
	計算値	8.7	8.4	10.7	10.5	5.1
破壊荷重 $P_u$	実験値	24.2	21.0	28.4	27.8	18.2
	計算値	22.3	19.4	38.2	32.8	19.6
						23.0

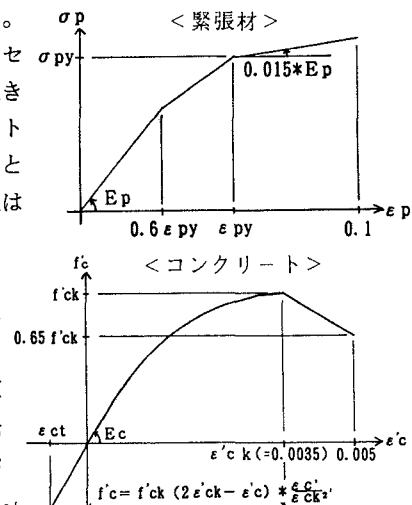


図-3 解析で用いた応力-ひずみ関係